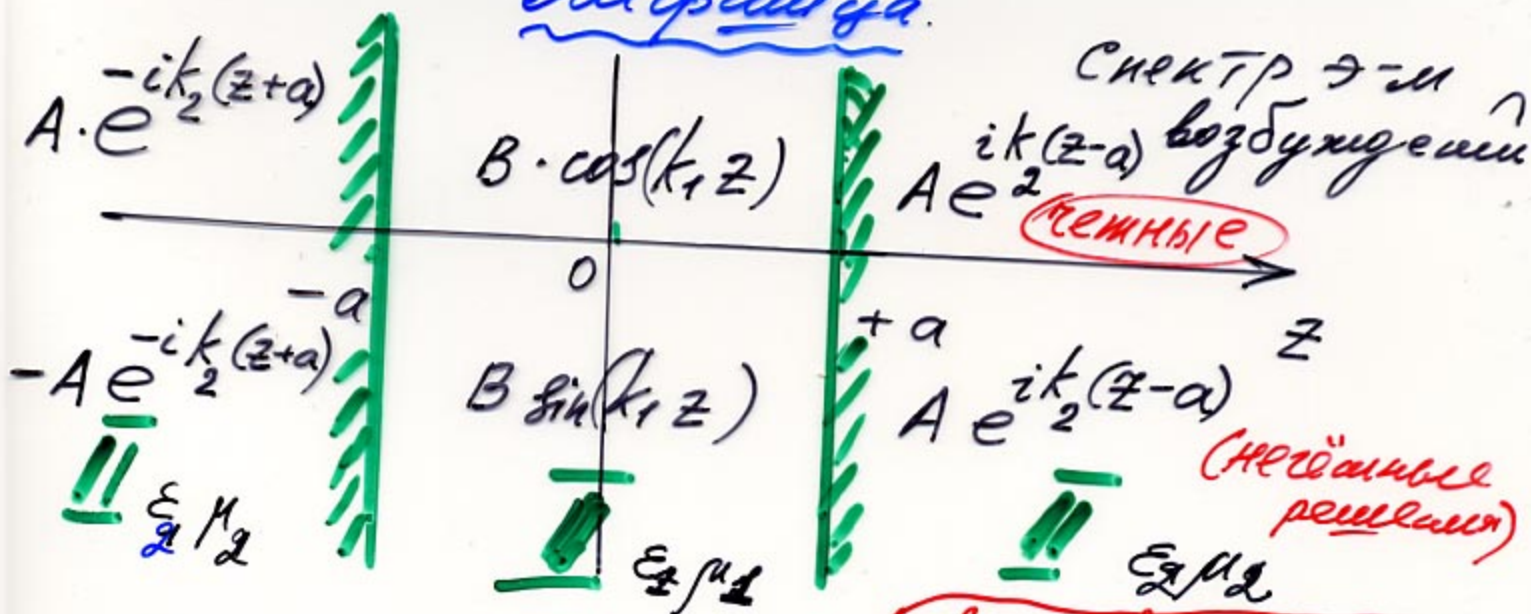


Вывод формулы
Лиришца.

(1)



Граничные условия:

TM-моды: $[\phi'(\pm a)] = 0, [\epsilon(\pm a)\phi(\pm a)] = 0$

TE-моды: $[\psi'(\pm a)] = 0, [\mu(\pm a)\psi(\pm a)] = 0$

Обозначим

$$[f(\pm a)] \equiv f(a+0) - f(a-0) \text{ (скачок)}$$

TM моды переходят в TE замкней

$$\epsilon \rightarrow \mu !$$

Достаточно рассмотреть только TM.

- Симметрич. решения ($z \rightarrow -z$) - резонансы
- Ассим. решения (при $z \rightarrow -z$ меняем z) - не резонансы
- Общий временной множитель $e^{-i\omega t}$ берем

Гейтл.

$$z = +a \quad [\Phi'(z+a)] = 0 \quad [\epsilon \phi] = 0 \quad (2)$$

$$i k_2 A = -k_1 B \sin(ak_1); \quad \epsilon_2 A = \epsilon_1 B \cos k_1 a$$

$$z = -a \quad B k_1 \sin ak_1 = -i k_2 A; \quad B \epsilon_1 \cos k_1 a = \epsilon_2 A$$

Расщепленное ур-ие

$$i \frac{k_2}{\epsilon_2} = -\frac{k_1}{\epsilon_1} \operatorname{tg}(k_1 a) \quad (*)$$

$$[\Phi'] = 0$$

$$[\epsilon \phi] = 0$$

негеич.
реш-ия

$$z = a \quad i k_2 A = B k_1 \cos(ak_1); \quad \epsilon_2 A = \epsilon_1 B \sin(k_1 a)$$

$$z = -a \quad k_1 B \cos(k_1 a) = i k_2 A; \quad \epsilon_1 B \sin(k_1 a) = \epsilon_2 A$$

Расщепленное уравнение

$$i \frac{k_2}{\epsilon_2} = \frac{k_1}{\epsilon_1} \operatorname{ctg}(k_1 a) \quad (**)$$

Расщепленные ур-ия (*) и (**) надо рассматривать по отдельности.

Все решения этих двух уравнений содержатся в решениях одного уравнения

$$\operatorname{tg}(2ak_1) = -\frac{2\alpha d}{1+\alpha^2}, \quad \alpha = \frac{\epsilon_1 k_2}{\epsilon_2 k_1}$$

Чтобы доказать преддущее ут-⁽³⁾
вержение, необходимо воспользо-
ваться формулами:

$$\operatorname{tg}(2x) = \frac{2\operatorname{tg}x}{1 - \operatorname{tg}^2x} = \frac{2\operatorname{ctg}x}{\operatorname{ctg}^2x - 1} (***)$$

Выход в комплексную плоскость
частот ω

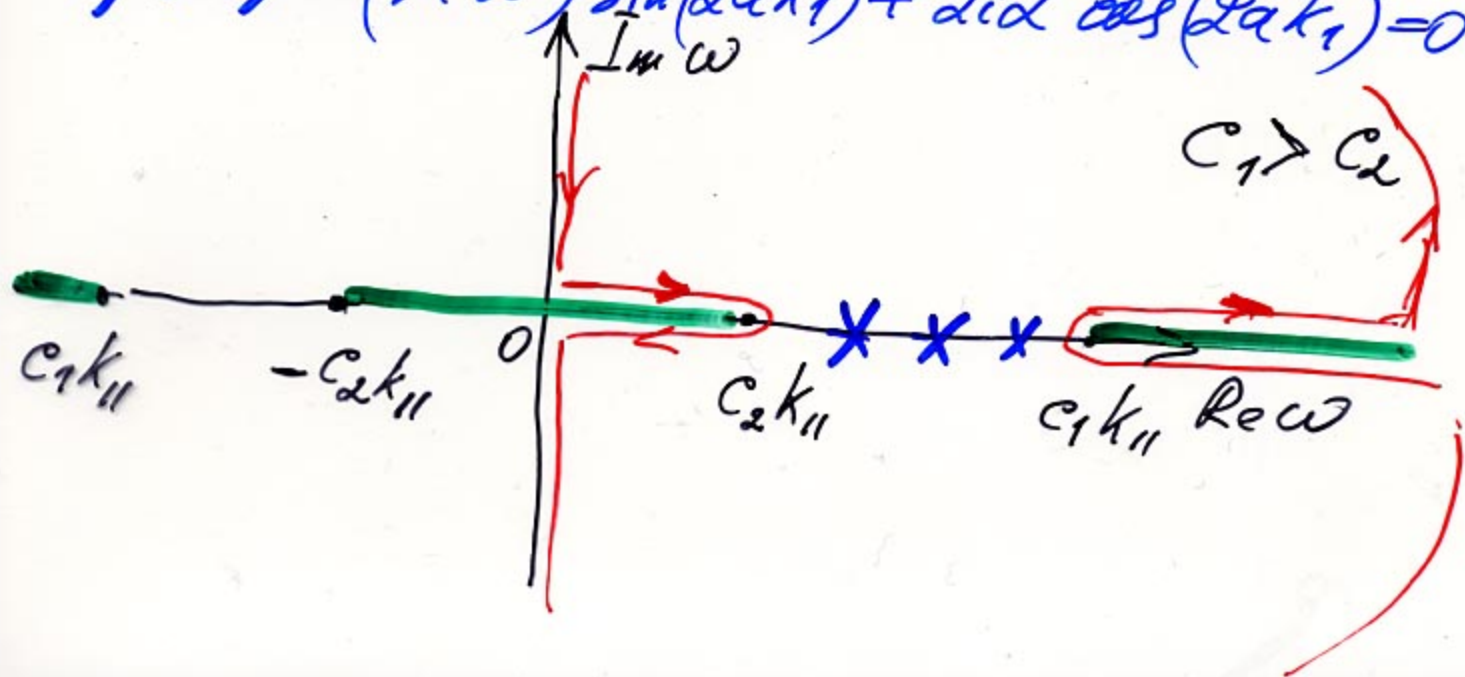
Для суммирования по корням ур-ия
(***) воспользуемся принципом аргумента

Та у комплексн. анализа

$$E = \frac{1}{2} \frac{1}{2\pi i} \int_{\omega} d\omega \frac{d}{d\omega} \ln f(\omega),$$

где $f(\omega)$ - частотное ур-ие (***)

$$f(\omega) = (1 + \alpha^2) \sin(2\alpha k_1) + 2i\alpha \cos(2\alpha k_1) = 0$$



Модель плазменной оболочки

1

Рассматривается бесконечно тонкий слой плазмы, которая описывается в гидродинамическом приближении.

В этом приближении плазма рассматривается как электронная жидкость на фиксированном однородном положительном фоне.

Вся система (фронт + эл. жидкость) — эл. нейтральна, т.е. электронная плотность $(-en_0)$ в точности сокращается плотн. положительн. заряда фона.

Пусть $\vec{\xi}(\vec{x}, t)$ — скорость электронов в точке \vec{x} , тогда для плотности э-ов $n(\vec{x}, t)$ уравнение непрерывности запишется так

$$\frac{\partial n}{\partial t} + \vec{\nabla} \cdot (n \vec{\xi}) = 0$$

Рассматриваем линейный ответ.

Величины первого порядка:

(2)

i) индуцированная плотность заряда

$$\sigma(\vec{x}, t) \equiv -e(n(\vec{x}, t) - n_0)$$

ii) скорость э-ов $\vec{\xi}(\vec{x}, t)$

iii) поля \vec{E} и \vec{H}

Трансформации этих величин будут отображаться.

Ур-ие непрерывности в линейном приближении:

$$\dot{\sigma} - e n_0 \nabla_{||} \cdot \dot{\vec{\xi}} = 0, \text{ или } \dot{\sigma} = e n_0 \nabla_{||} \cdot \dot{\vec{\xi}}$$

Индуцированный ток

$$\vec{J} = -e n_0 \dot{\vec{\xi}} = i e \omega n_0 \vec{\xi}$$

Временная зависимость у всех величин $\sim e^{-i\omega t}$.

II-й закон Ньютона для электронов

$$m \ddot{\vec{\xi}}(\vec{x}, t) = -e \vec{E}_{||}(\vec{x}, t), \quad \vec{x} \in \Sigma$$

$$\vec{\xi} = \frac{e}{m \omega^2} \vec{E}_{||}$$

Таким образом, плотности зарядов и токов, индуцированные в плазменной оболочке, определяются так же, как и в вакууме.

Тогда эл. поле

(3)

$$\sigma = \frac{e^2 n_0}{m\omega^2} \vec{\nabla}_{\parallel} \cdot \vec{E}_{\parallel}, \quad \vec{J} = i \frac{e^2 n_0}{m\omega} \vec{E}_{\parallel}$$

Ур-ва Максвелла

$$\vec{\nabla} \cdot \vec{H} = 0, \quad \vec{\nabla} \times \vec{E} - c\omega \vec{H} / c = 0,$$

$$\vec{\nabla} \cdot \vec{E} = 0, \quad \vec{\nabla} \times \vec{H} + c\omega \vec{E} / c = 0, \quad \vec{x} \notin \Sigma$$

Ур. условия:

$$[\vec{E}_{\parallel}] = 0, \quad [E_{\perp}] = \frac{2q c^2}{\omega^2} \vec{\nabla}_{\parallel} \cdot \vec{E}_{\parallel}$$

$$[H_{\perp}] = 0, \quad [H_{\parallel}] = -\frac{2qc}{\omega} \vec{n} \times \vec{E}_{\parallel}$$

$$q = \frac{2\pi n e^2}{m c^2}$$

- характерн. волновой вектор.

$$[\phi(0)] = -2q \left(\frac{c}{\omega}\right)^2 \phi'(0), \quad [\phi'(0)] = 0$$

$$[\psi(0)] = 0, \quad [\psi'(0)] = 2q \psi(0)$$

$$\frac{\omega_{sp}^2}{c^2} = \frac{q}{2} \left(\sqrt{q^2 + 4k^2} - q \right) \geq 0$$

1

Spectral Geometry and open systems

V. V. Nesterenko

(JINR, Dubna, Russia)



Well posed spectral problem

$$\hat{L} f_n(x) = \lambda_n f_n(x) \mapsto \hat{L} |n\rangle = \lambda_n |n\rangle$$

$$\hat{I} = \sum_n |n\rangle \langle n|; \quad \hat{L} \text{ is a diff. ellip. oper}$$

$$L^{-1} = \sum_n \frac{|n\rangle \langle n|}{\lambda_n} \quad \hat{L} = -\Delta + \dots$$

Compact manifold M
(with boundary ∂M or
without boundary)

$$L^{-s} = \sum_n \frac{|n\rangle \langle n|}{\lambda_n^s}$$

Local spectral ζ -function

$$\zeta_L(s; x) = \sum_n \frac{\langle x | n \rangle \langle n | x \rangle}{\lambda_n^s} = \sum_n \lambda_n^{-s} f_n^*(x) f_n(x)$$

$$\langle 0 | T_{00}(x) | 0 \rangle = \frac{1}{2} \sum_n \lambda_n^{1/2} f_n^*(x) f_n(x) = \frac{1}{2} \zeta_L(-\frac{1}{2}; x)$$

Global spectral ζ -function

$$\zeta_L(s) = \int dx \zeta_L(s; x)$$

$$E_0 = \frac{1}{2} \zeta_L(-\frac{1}{2})$$

Finite dimensional case $n=1, 2, \dots, N$

$$\hat{L} \rightarrow L_{nm}, \quad 1 \leq n, m \leq N, \quad L_{nm} - \lambda \delta_{nm} = 0$$

$$\det(L_{nm} - \lambda \delta_{nm}) = 0 \rightarrow \lambda_n \quad P_L(\lambda) = \prod_{n=1}^N (\lambda - \lambda_n); \quad \text{H-C th. } P_L(\lambda) = 0$$

Another spectral function is
Heat kernel

(2)

$$K_L(x, y; t) = \sum_n e^{-\lambda_n t} f_n^*(x) f_n(y)$$

It is the Green's function for the 'heat conduction' equation

$$\left(\frac{\partial}{\partial t} - L_x\right) K(x, y; t) = 0, \quad K(x, y; 0) = \delta(x, y)$$

Integrated heat kernel

$$\text{Tr} K(x, y; t) = \int dx K(x, x; t) \xrightarrow{t \rightarrow 0^+} (4\pi t)^{-d/2} \sum_{n=0}^{\infty} t^{n/2} a_n$$

The heat kernel coefficients a_n are responsible for **divergences** in relevant QFT.

$$\lambda_n \underset{n \rightarrow \infty}{=} C_1 n^2 + C_0 + \frac{C_{-1}}{n^2} + \frac{C_{-2}}{n^4} + \dots$$

$$\{a_n\} \leftrightarrow \{C_n\}$$

a_n are determined by the geometrical invariants of M and ∂M

$$a_0 = V, \quad a_{1/2} = S, \quad a_n = a_n \underbrace{(g_{\mu\nu}, R_{\mu\nu\rho\sigma})}_M \underbrace{h_{\mu\nu}^{\alpha\beta}}_{\partial M}, \quad n \geq 1$$

If $a_2 = 0$ then ζ regularization gives finite value for E_0 .

$$K_L(t) \leftrightarrow \sum_L(s)$$

Mellin transform

conformal anomaly $\rightarrow a_2 \neq 0$

III High temperature behaviour of ^① the Casimir thermodynamic functions

$$K(t) = \frac{1}{(4\pi t)^{3/2}} \sum_{n=0,1,2} a_n t^n + ES$$

$$\zeta_T^{(s)} = \sum_{m=-\infty}^{\infty} \sum_k (\Omega_m^2 + \omega_k^2)^{-s}$$

$$\zeta_T^{(s)} = \frac{1}{\Gamma(s)} \int_0^{\infty} dt t^{s-1} \sum_{m=-\infty}^{\infty} e^{-\Omega_m^2 t} \underbrace{\sum_k e^{-\omega_k^2 t}}_{K(t)} = K(t)$$

$$\zeta_T^{(s)} = \zeta(s) + \frac{2}{(2\pi)^{3/2}} \sum_{n=0,1,2} a_n \left(\frac{t}{2\pi T}\right)^{2s-3+2n} \times$$

$$\times \frac{\Gamma(s-3/2+n)}{\Gamma(s)} \zeta_R(2s+2n-3) \quad (T \rightarrow \infty)$$

$F = -\frac{T}{2} \zeta_T'(0)$ - free energy

$$F(T) = -\frac{T}{2} \zeta_T'(0) - a_0 \frac{T^4 \pi^2}{\hbar^3 90} - a_{1/2} \frac{T^3 \zeta_R(3)}{4\pi^{3/2} \hbar^2} -$$

$$-\frac{a_1 T^2}{24 \hbar} + \frac{a_{3/2} T \ln \frac{\hbar}{T}}{(4\pi)^{3/2}} - a_2 \frac{\hbar}{16\pi^2} \left[\ln \frac{\hbar}{4\pi T} + \gamma \right]$$

$$-\frac{a_{5/2} \hbar^2}{(4\pi)^{3/2} 24T} - T \sum_{n \geq 3} \frac{a_n}{(4\pi)^{3/2}} \left(\frac{\hbar}{2\pi T}\right)^{2n-3} \Gamma(n-\frac{3}{2}) \zeta_R(2n-3)$$

Conducting sphere:

$a_0 = 0, a_{1/2} = 0, a_1 = 0, a_{3/2} = 2\pi^{3/2}, a_2 = 0$

$a_{5/2} = \frac{\pi^{3/2} c^2}{20 R^2}, a_j = 0, j = 3, 4, 5$

$\zeta'(0) = \frac{\gamma}{2} + \ln 2 + \frac{7}{16} \zeta_R(3) - \frac{9}{8} + \frac{1}{2} \ln \frac{R}{c}$
 $= 0.38265 + \frac{1}{2} \ln \frac{R}{c}$

$F(T) = -\frac{T}{4} \left(\ln \left(\frac{RT}{\hbar c} \right) + 0.76858 \right) - \left(\frac{\hbar c}{R} \right)^2 \frac{1}{3840 T} + O\left(\frac{1}{T^3}\right)$

$S(T) = 0.44215 + \frac{1}{4} \ln \frac{RT}{\hbar c} - \frac{1}{3840} \left(\frac{\hbar c}{RT} \right)^2 + O(T^{-4})$
 $\frac{\partial S}{\partial T}$

Conducting cylindrical shell

$a_0 = a_{1/2} = a_1 = a_2 = 0, \frac{a_{3/2}}{(4\pi)^{3/2}} = \frac{3}{64R}, \frac{a_{5/2}}{(4\pi)^{3/2}} = \frac{153 c^2}{8192 R^3}$

$\zeta'(0) = \frac{0.45847}{R} + \frac{3}{32R} \ln \frac{R}{2c}$

$F(T) \underset{T \rightarrow \infty}{\sim} -0.22924 \frac{T}{R} - \frac{3T}{64R} \ln \frac{RT}{2\hbar c} - \frac{51}{65536} \frac{\hbar^2 c^2}{R^3 T} + O\left(\frac{1}{T^3}\right)$

classical term

Dilute dielectric ball

$a_0 \approx 8\pi \frac{R^3}{c^3} (\Delta n + 2\Delta n^2)$

$a_{1/2} = -4\pi^{3/2} \frac{R^2}{c^2} \Delta n^2$
 $a_1 \approx 0, a_{3/2} \approx \pi^{3/2} \Delta n^2, a_2 \approx 0$

mat
 $F(T)$

$F(T) \underset{T \rightarrow \infty}{\sim} -a_0 \frac{T^4}{\hbar^3 90} - a_{1/2} \frac{T^3}{4\pi^{3/2} \hbar^2} \zeta_R(3) + F_{\text{cas}}(T);$

$F_{\text{cas}}(T) = -\frac{\Delta n^2}{8} T \left(\ln \frac{4TR}{\hbar c} + \gamma - \frac{7}{8} \right) + O\left(\frac{1}{T^2}\right) = F^{\text{e-m}}(T)$

Heat kernel coefficients

$$K(t) = \sum_k e^{-\omega_k^2 t} = (4\pi t)^{-d/2} \sum_{n=0}^{\infty} t^{n/2} B_{n/2} + ES,$$

ES stands for exponentially small terms as $t \rightarrow 0$.

$$\omega_n^2 \xrightarrow{n \rightarrow \infty} C_2 n^2 + C_1 n + C_0 + \frac{C_{-1}}{n} + \frac{C_{-2}}{n^2} + \frac{C_{-3}}{n^3} + \dots$$

$$\{C_2, C_1, C_0, C_{-1}, C_{-2}, \dots\} \leftrightarrow \{B_0, B_{1/2}, B_1, B_{3/2}, B_2, \dots\}$$

For a region Ω on a plane with smooth boundary curve Γ

$$K(t) \approx \frac{|\Omega|}{4\pi t} - \frac{|\partial\Omega|}{8\sqrt{\pi t}} + \frac{1}{12\pi} \int_{\Gamma} k(s) ds + \frac{\sqrt{\pi t}}{256\pi} \int_{\Gamma} k'(s)^2 ds +$$

$$+ \frac{t}{315\pi} \int_{\Gamma} k(s)^3 ds + \sqrt{\pi t^3} \left[\frac{37}{2^{15}\pi} \int_{\Gamma} k(s)^4 ds - \frac{11}{2^{11}\pi} \int_{\Gamma} (k')^2 ds \right] + O(t^2)$$

In general case

$$B_0 = V, \quad B_{1/2} = -\sqrt{\pi} \frac{S}{2}$$

$$d=3 \quad B_2$$

$$d=2 \quad B_{3/2}$$

FIGURES

$\alpha < 2\pi$

Wedge

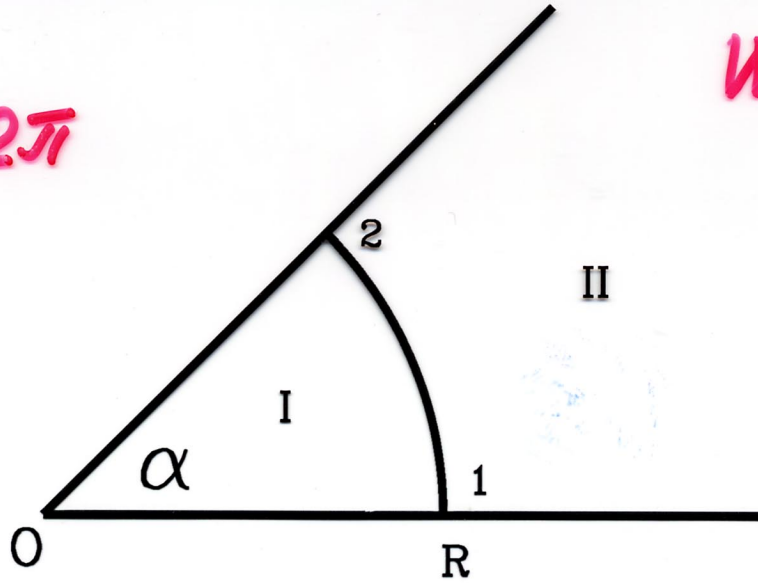


FIG. 1. The cross section of a dihedral angle with circular boundary of radius R inside.

Cone

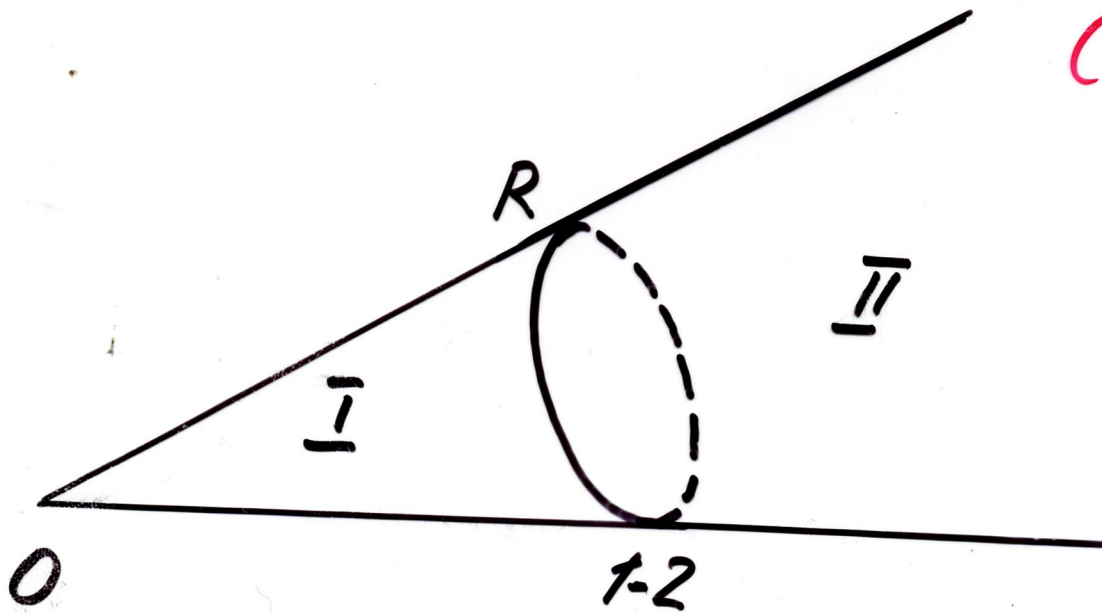


TABLE III. The contributions of different parts of the boundary to heat kernel coefficients; D and N stand for the Dirichlet, Neumann boundary conditions for a wedge, D_C and N_C denote these conditions for a cone; the upper (lower) sign is referred to the internal I (external II) sector.

		Curvature of the arc 1-2	Right-angled corners at the points 1 and 2	Corner of angle α at the origin
B_1	D	$\pm \frac{\alpha}{3}$	$\frac{\pi}{2}$	$c(\alpha)$
	N	$\pm \frac{\alpha}{3}$	$\frac{\pi}{2}$	$c(\alpha)$
	D_C	$\pm \frac{\alpha}{3}$		$2c(\alpha/2)$
	N_C	$\pm \frac{\alpha}{3}$		$2c(\alpha/2)$
$B_{3/2}$	D	$\frac{\sqrt{\pi}}{64} \frac{\alpha}{R}$	$\pm \frac{\sqrt{\pi}}{4R}$	
	N	$\frac{5\sqrt{\pi}}{64} \frac{\alpha}{R}$	$\pm \frac{3\sqrt{\pi}}{4R}$	
	D_C	$\frac{\sqrt{\pi}}{64} \frac{\alpha}{R}$		
	N_C	$\frac{5\sqrt{\pi}}{64} \frac{\alpha}{R}$		
B_2	D	$\pm \frac{4}{315} \frac{\alpha}{R^2}$	$\frac{1}{8} \frac{\pi}{R^2}$	
	N	$\pm \frac{4}{45} \frac{\alpha}{R^2}$	$\frac{3}{8} \frac{\pi}{R^2}$	
	D_C	$\pm \frac{4}{315} \frac{\alpha}{R^2}$		
	N_C	$\pm \frac{4}{45} \frac{\alpha}{R^2}$		
$B_{5/2}$	D	$\frac{37\sqrt{\pi}}{8192} \frac{\alpha}{R^3}$	$\pm \frac{25\sqrt{\pi}}{96} \frac{\alpha}{R^3}$	
	N	$\frac{269\sqrt{\pi}}{8192} \frac{\alpha}{R^3}$	$\pm \frac{21\sqrt{\pi}}{32} \frac{\alpha}{R^3}$	
	D_C	$\frac{37\sqrt{\pi}}{8192} \frac{\alpha}{R^3}$		
	N_C	$\frac{269\sqrt{\pi}}{8192} \frac{\alpha}{R^3}$		

$$c(\alpha) = \frac{\pi^2 - \alpha^2}{6\alpha}$$

$$B_2 = 2 \cdot \frac{\pi}{8R^2} + 2 \cdot \frac{3}{8} \frac{\pi}{R^2} = \frac{\pi}{R^2} \neq 0$$

due corners

$$B_{3/2} = 2 \cdot \frac{\pi\sqrt{\pi}}{64R} + 2 \cdot \frac{5}{64} \frac{\pi\sqrt{\pi}}{R} = \frac{3}{16} \frac{\pi\sqrt{\pi}}{R} \neq 0$$

due curvature of boundary

Литература

1. Ю. С. Бараш, Силы Ван-дер-Ваальса
М.: Наука, 1988.
2. В. М. Мостепаненко, Н. Н. Трунов, Эффект
Казимира и его приложения, М.: Энерго-
атомиздат, 1990.
3. K. A. Milton, J. Phys. A 37 (2004) R209.
4. M. Bordag, U. ~~Moh~~ Mohideen, V. M.
Mostepanenko, Phys. Reports, 353 (2001)
①⁷
5. Journal of Phys. A: Math. Theor. Vol. 41,
No. 16 (2008)

Papers of 8th Workshop on Quantum
Field Theory Under the Influence of
External conditions (QFEXT07)
(Leipzig, Germany, 16-21 September 2007)

6. QFEXT05 - J. Phys. A vol. 39,
No. 21 (2006)
hep-th/0503100
7. V. V. Nesterenko, G. Lambiase, G. Scar-
petta, La ~~Rivista~~ Rivista del Nuovo
Cimento, Vol. 27, No 6, p.p. 1-74 (2004)
hep-th/0503100